

에어컨용 PFC Boost Converter의 전도 노이즈 저감

이성희, 김이훈, 김영규, 원충연, 김태덕*, 김대경*
 성균관대학교, 삼성전자 DA연구소*

Conducted Noise Reduction in PFC Boost Converter for Air Conditioner

S.H. Lee, L.H. Kim, Y.G. Kim, C.Y. Won, and T.D. Kim*, and D.K. Kim*
 Sungkyunkwan University, Samsung Electronics D.A. Network R&D Center*

ABSTRACT

Switching PFC converters are widely used not only to comply the power quality specification but also for maximum efficiency. However switching PFC converters generate serious electromagnetic interference(EMI).

In this paper to solve this problem, we applied the APW(Anti Phase Winding) and RPWM(Random PWM) technique to PFC boost converter and obtained satisfactory results.

Simulation and experimental results show the improved harmonic and reduced EMI effect in air-conditioner system.

1. 서 론

최근 에어컨의 기술동향은 저속운전의 확대를 통한 연간 에너지 소비효율의 향상 및 고효율 제어 알고리즘을 통한 절전 향상, 압축기의 성능 개선, 저온에서의 난방 능력 향상, 효과적 제습 등의 기술에 집중되고 있다. 전력전자 및 인버터 기술의 급속한 발달에 힘입어 유도 전동기의 V/f 제어 및 브러시리스 직류 전동기의 센서리스 제어 기법등이 압축기에 활발히 적용되고 있다.

또한, 전력전자 분야의 핵심기술인 고효율 모터 제어, 인버터 제어, 컨버터 회로 기술 및 모터 설계 기술이 필수적으로 요구되어진다.^[1]

또한, 현재 세계 각국은 가전제품의 전류고조파와 EMI의 제한을 위해 강력한 국제 규격을 채택하고 있다. 이로 인해 국가간의 새로운 무역장벽으로 나타나고 있다.

본 논문에서는 이러한 문제의 해결을 위해 그림 1과 같은 가정용 에어컨 시스템의 PFC Boost

Converter부에 RPWM기법과 APW기법을 적용하여 전원측 전류 고조파 및 전도노이즈를 저감하고자 한다.

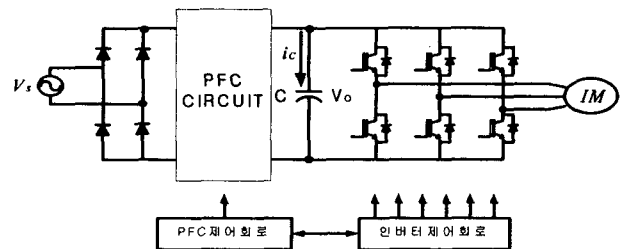


그림 1. 에어컨 시스템 Power부 블록도

2. RPWM 및 APW 기법

2.1 Random 스위칭 주파수 변조제어

AC-DC컨버터의 일반적인 PWM 스위칭 노이즈 스펙트럼의 경우, 그림 2와 같이 연속적인 형태로 발생하며 특정 주파수 혹은 스위칭 주파수의 배수로 집중하게 된다.

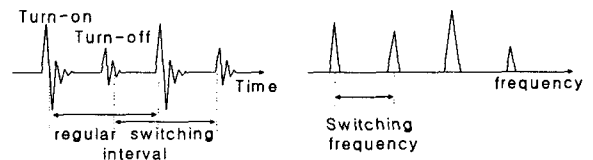


그림 2. PWM 스위칭 노이즈 파형과 스펙트럼

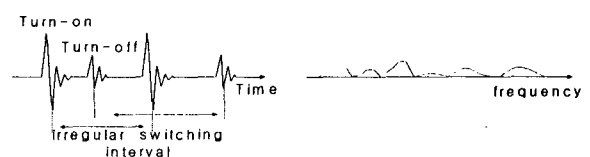


그림 3. RPWM 스위칭 노이즈 파형과 스펙트럼

반면에, 그림 3에서는 스위칭 노이즈 스펙트럼이 랜덤한 스위칭에 의하여 특정 주파수나 스위칭 주파수의 배수에 집중하지 않게 되어 일반적인 PWM방법보다 전도노이즈 레벨이 분산저감 된다. [2][3][4][5]

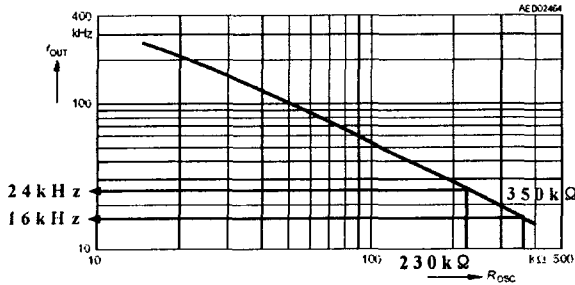


그림 4. R_{osc} 에 대한 스위칭 주파수 특성곡선

실험에서 사용된 PFC Controller(TDA16888)의 스위칭 주파수는 그림 4의 특성곡선과 같이 16번 핀의 R_{osc} 값에 의하여 정해지는데, 이는 R_{osc} 에 흐르는 전류 값에 의해서 스위칭 주파수가 정해진다 고 볼 수 있다.

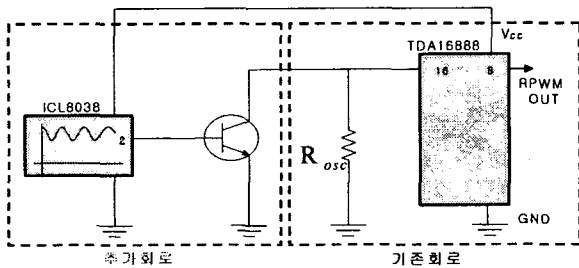


그림 5. TDA16888 PFC 제어기의 RPWM 구성도

그림 5는 RPWM 구성도이며, 기본회로와 추가 회로를 함께 나타내었다.

트랜지스터의 운전은 정현파 발생기에 의해 증폭 영역에서 동작하게 한다.

따라서, R_{osc} 에 흐르는 전류와 트랜지스터에 흐르는 전류의 합이 16번 핀으로부터 흐르는 전류가 된다.

이 전류의 합이 기존 R_{osc} 에 흐르던 전류 값의 전후가 되도록 설정한다. 결국, R_{osc} 값이 변하는 것과 같은 효과를 얻게 되어 RPWM이 간단하게 구현된다.

2.2 Anti-Phase Winding 기본 개념

그림 6은 일반 Boost converter의 CM 노이즈 경로를 나타낸다. CM노이즈 경로는 그림과 같이 주로 MOSFET drain단과 방열판을 사이에 기생 커패시터 c_1 이 형성되고 컨버터의 스위칭에 의한 급격

한 전압, 전류의 변화에 의해 발생된 노이즈가 c_1 과 방열판을 통해 접지로 흘러 CM 전도노이즈 경로를 이룬다.

APW 기법은 컨버터의 기존 기생 커패시터의 CM노이즈 전압에 대하여 같은 크기이면서 반대극성의 상쇄 전압을 발생시키기 위해서 승압용 인덕터 대신에 역상변압기를 사용한다.

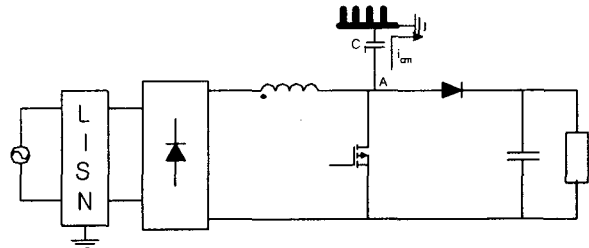


그림 6. Boost converter의 CM 노이즈 경로

이 방법은 기존에 사용하던 인덕터에 APW를 추가함으로써 기존회로에 큰 변화 없이 구현할 수 있다. 그림 7은 APW Boost converter의 CM 노이즈 경로이다. 2차측 역상권선APW를 그림 7과 같이 설계하여 구성한다.

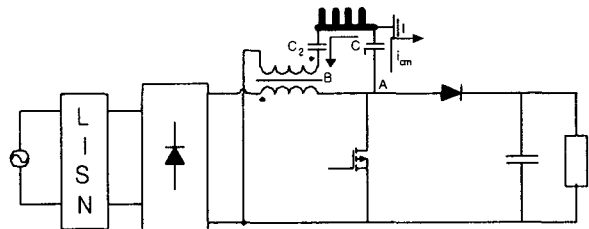


그림 7. APW Boost converter의 CM 노이즈 경로

APW에 의해서 기생 커패시터 c_1 에 인가되는 CM전도노이즈 전압과 반대극성, 같은 크기의 전압이 c_2 에 인가되어 c_1 과 c_2 가 충.방전이 상보적으로 동작하게 된다. 그리고 c_1 과 c_2 의 커패시터 값이 같다면 CM전도노이즈 전압이 0 dBuV에 가깝게 제거된다. 그림 7에서 c_1 은 MOSFET와 방열판 사이에 기생 커패시터이고 c_2 는 APW와 방열판 사이에 삽입하는 보조 커패시터이다.

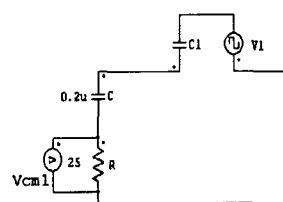


그림 8 Conventional Boost Converter CM 전도 노이즈 분석 모델

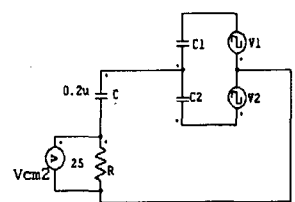


그림 9 APW Boost Converter CM 전도노이즈 분석 모델

승압용 인덕터의 보조 역상권선을 설계하기 위해서 그림 6의 Boost converter CM 전도노이즈 분석 모델과 그림 7의 제안된 Boost converter CM 전도노이즈 분석모델을 그림 8과 그림 9에서 간략하게 나타낼 수 있다.

소신호 전압원 $v_1(w)$ 은 CM 노이즈 전원을 나타낸다. LISN의 CM 노이즈 모델은 저항 25Ω 과 커패시터 $0.2\mu F$ 을 직렬로 연결한 것과 같다. 저항 25Ω 에 걸리는 전압은 LISN에서 검출된 CM 노이즈 레벨이다.

v_1 과 v_2 의 관계는 권수비 n 과 같다.

$$\text{권선비} : n = \frac{v_2}{v_1} \quad (1)$$

기생 커패시터의 관계는 k 로 표현된다.

$$\text{기생 커패시터비} : k = \frac{c_2}{c_1} \quad (2)$$

각각의 CM 노이즈 전압은 다음 식과 같다.

* 일반 Boost Converter의 CM 노이즈 전압 :

$$v_{CM1}(w) = \frac{25 \times 0.2 \times 10^{-6} \omega c_1}{25 \times 0.2 \times 10^{-6} \omega c_1 + c_1 + 0.2 \times 10^{-6}} \times v_1(w) \quad (3)$$

* APW Boost Converter의 CM 노이즈 전압 :

$$v_{CM2}(w) = \frac{25 \times 0.2 \times 10^{-6} \omega c_1 (kn-1)}{25 \times 0.2 \times 10^{-6} \omega c_1 (k+1) + c_1 (k+1) + 0.2 \times 10^{-6}} \times v_1(w) \quad (4)$$

식 (1)과 (2),(3),(4)를 이용하여 삽입손실 A 를 구할 수 있다.

$$A = 20 \log \frac{|v_{CM1}(w)|}{|v_{CM2}(w)|} \quad (5)$$

제안된 회로의 CM 노이즈 저감정도는 식 (5)에서처럼 삽입손실 A 로 표현된다. A 값이 크다는 것은 CM노이즈 저감효과가 크다는 것을 뜻한다.

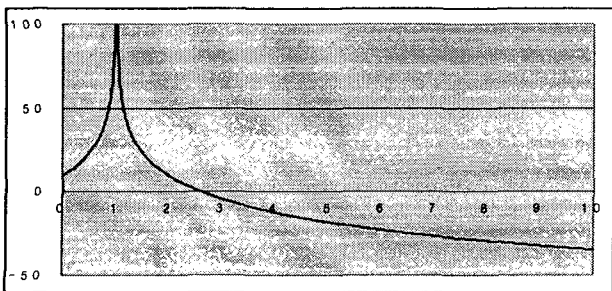


그림 10. ($k = 1$ 일 때) n 값에 따른 삽입손실(A) 곡선

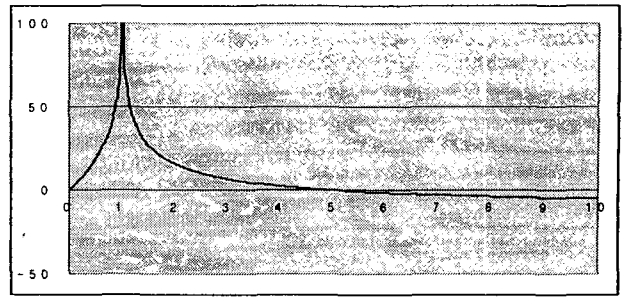


그림 11. ($n = 1$ 일 때) k 값에 따른 삽입손실(A) 곡선

그림 10, 11과 같이 k 와 n 이 1일 때 이론적으로 CM 노이즈를 0에 가깝게 제거 할 수 있다. 그러나 권수비 n 을 1에 가깝게 설계하는 것은 용이하나 커패시터비 k 를 1에 가깝게 하는 것이 어렵다.

즉, 반복적인 시행오차를 거듭하는 실험을 통하여 k 값을 1에 가깝도록 해야 하는 단점이 있다.^{[6][7]}

3. 시뮬레이션 및 실험결과

시뮬레이션에서는 3kW급 PFC Boost Converter를 사용하였고 실험에서는 3kW급 가정용 에어컨 시스템에 적용하여 실험을 수행하였다.

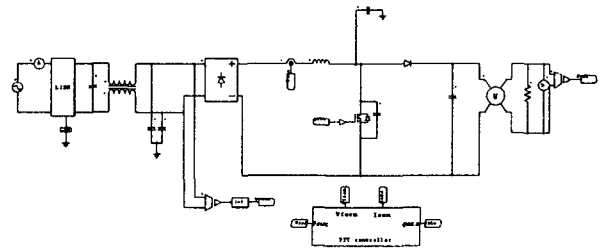


그림 12. PFC Boost Converter

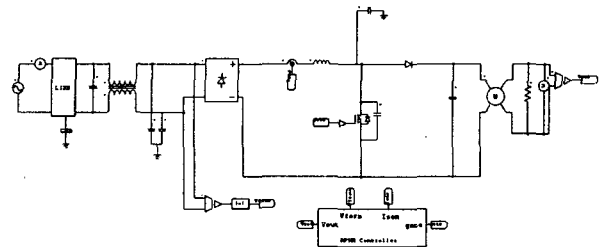


그림 13. RPWM PFC Boost Converter

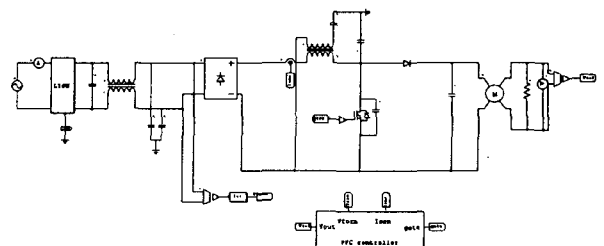


그림 14. APW PFC Boost Converter

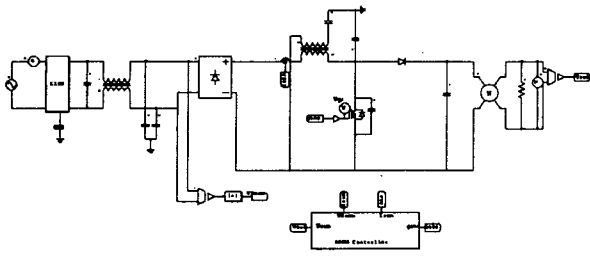


그림 15. APW & RPWM Boost Converter

그림 12-15는 각 시뮬레이션 회로이다. 시뮬레이션은 각 제안된 방법들의 타당성을 살펴보기 위해 3kW급 PFC Boost Converter에 적용하였다.

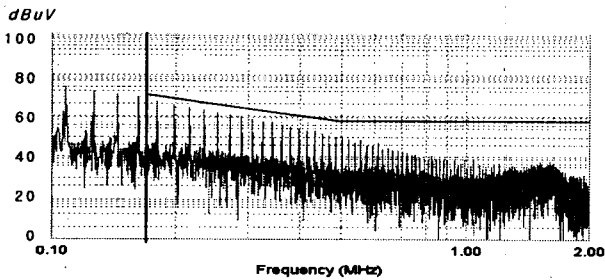


그림 16. PFC Boost Converter CM 전도노이즈 시뮬레이션 파형

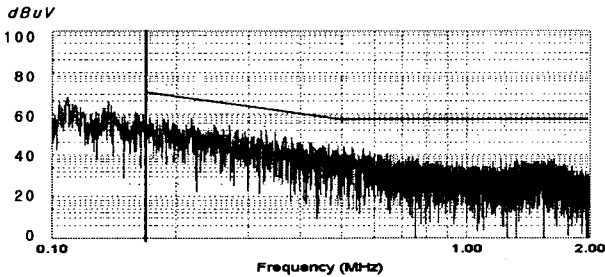


그림 17. RPWM 적용시 CM 전도 노이즈 시뮬레이션 파형

RPWM 기법을 적용하면 그림 16에 비해 그림 17과 같이 스위칭 주파수의 배수로 집중되던 노이즈가 분산되어 CM 노이즈 레벨이 감소하는 것을 확인할 수 있다.

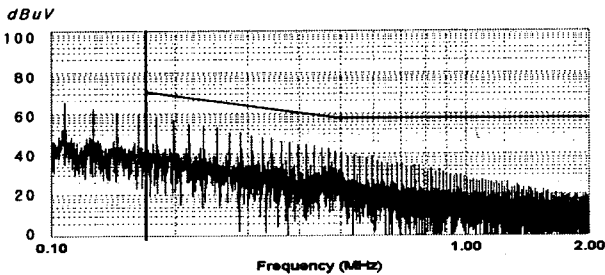


그림 18. APW 적용시 CM 전도 노이즈 시뮬레이션 파형

APW방법은 그림 18과 같이 노이즈 에너지 자체가 저감 되는 것을 확인할 수 있다. k 값은 1.4로 설정하여 시뮬레이션 하였다.

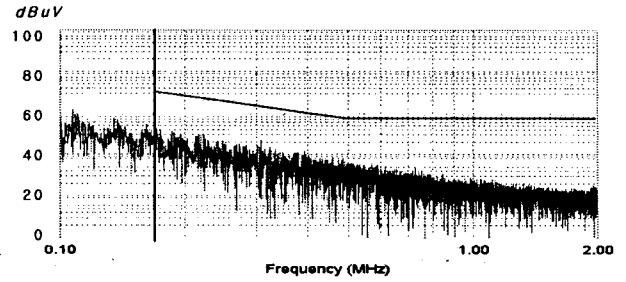


그림 19. APW 및 RPWM 적용시 CM 전도 노이즈 시뮬레이션 파형

그림 19와 같이 APW와 RPWM을 병행 적용시 노이즈 레벨이 가장 현저히 저감되는 것을 확인할 수 있다.

실험은 3kW급 가정용 벽걸이형 에어컨에 적용하였고 운전 부하는 1.6kW이다.

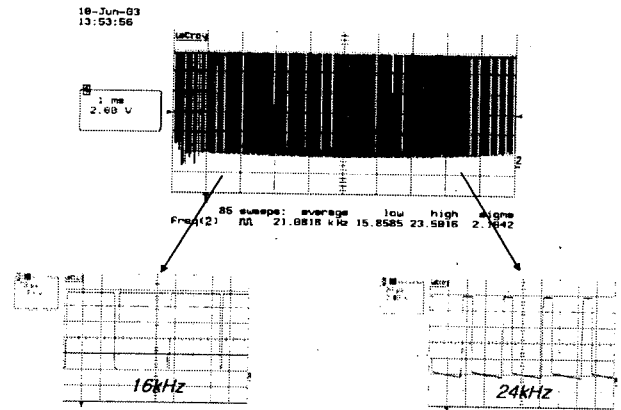


그림 20. RPWM 운전시 v_{gs} 전압 파형

기존 승압형 컨버터의 스위칭 주파수는 18kHz이다. 랜덤 스위칭 주파수는 승압용 인덕터의 특성을 고려하여 그림 20에서 보는바와 같이 16kHz에서 24kHz로 적용하였다.

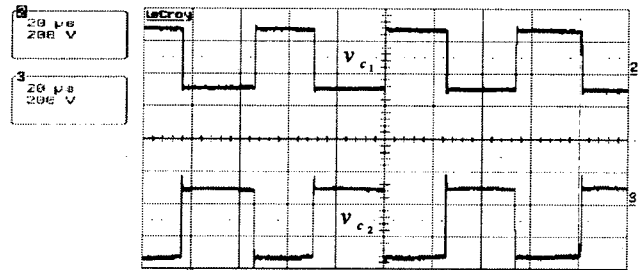


그림 21. 기생 커패시터 c_1 과 c_2 의 전압파형 비교

APW방법을 적용한 컨버터의 기생 커패시터 c_1 과 c_2 의 전압파형은 그림 21과 같이 서로 상보적으로 작용함으로써, RPWM이 CM 전도노이즈를 분산시켜 노이즈 레벨을 낮추는 것과는 다르게 CM 전도노이즈를 상쇄를 시킨다.

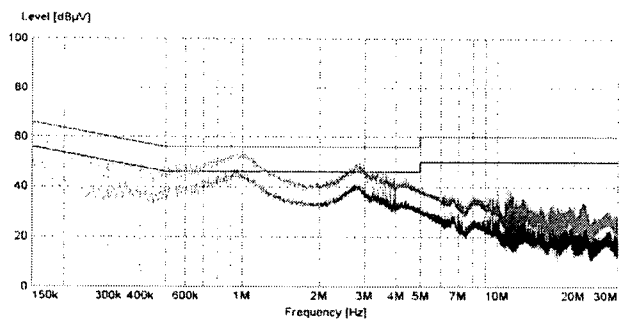


그림 22. PFC Boost Converter CM 전도노이즈 스펙트럼

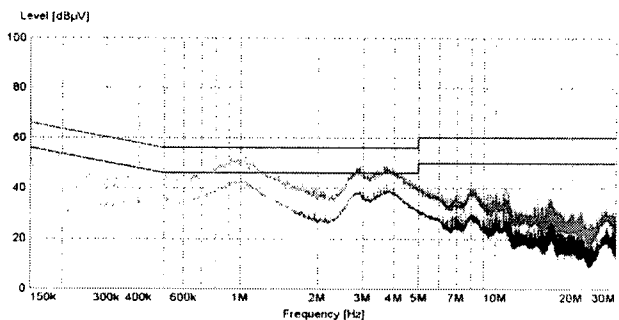


그림 23. RPWM 적용시 CM 전도 노이즈 스펙트럼

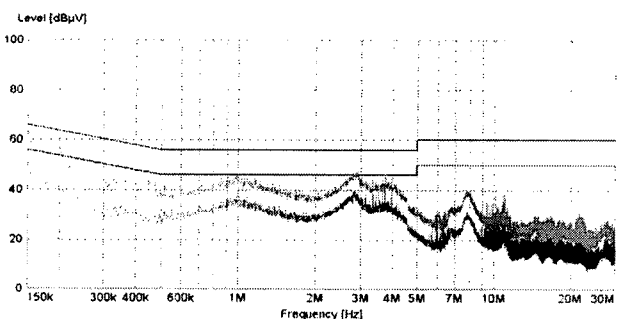


그림 24. APW 적용시 CM 전도 노이즈 스펙트럼

그림 22는 기존 컨버터에 대한 CM 노이즈 스펙트럼이다. 그림 22에 비해 그림 23에서는 CM 전도 노이즈가 분산 저감되고, 그림 24에서는 상쇄 저감됨을 확인할 수 있다.

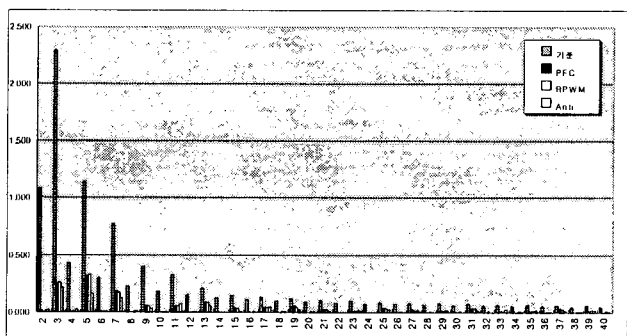


그림 25. 각각의 경우에 대한 전류고조파 분석 결과

그림 25는 PFC Boost Converter의 입력전류 고조파 분석[IEC555-2 (전류의 고조파 성분 규제)] 결과이며, 기존의 컨버터와 RPWM 및 APW를 적용한 컨버터들을

비교해 보면 전류 고조파의 크기가 규제치에 모두 만족하는 것을 알 수 있다.

4. 결 론

본 논문에서는 가정용 에어컨 시스템에 사용되는 PFC Boost Converter부에 RPWM 및 APW기법을 적용하여 다음과 같은 결론을 얻었다.

- 1) PFC Boost Converter에 RPWM 및 APW를 적용 하였을 때 입력전류 고조파 규제(IEC555-2)에 모두 만족한다.
- 2) PFC Boost Converter에 RPWM 적용시 150kHz에서 3MHz사이의 EMI 전도 노이즈가 기존 컨버터보다 5dBuV정도 분산되고, APW 적용시 10dB uV정도 저감되는 것을 확인 할 수 있다.

향후 계획은 RPWM 및 APW를 병행 적용하여 고조파 및 EMI 전도 노이즈 저감 연구를 진행할 계획이다.

이 논문은 삼성전자의 지원을 받은 SFARC 2002-0154-080 에 의하여 연구 되었음.

참 고 문 헌

- [1] 김경화, 윤명중, "에어컨의 기술개발 동향 및 전망", 전력전자학회지 제5권 제5호, pp. 16-20, 2000.
- [2] Feng Lin and Dan Y. Chen, "Reduction of Power Supply EMI Emission by Switching Frequency Modulation", IEEE Transactions on Power Electronics, Vol. 9, No. 1, pp. 132-137, January 1994.
- [3] 최태영, "RPWM 기법을 이용한 능동 클램프 ZVS 플라이백 컨버터 전도노이즈 저감", 성균관대학교 석사학위논문, 2002.
- [4] 김영규, 최태영, 원충연, 김재문, 김규식, 최세완, "RPWM 기법을 이용한 능동클램프 ZVS 플라이백 컨버터 전도 노이즈 저감", 전력전자학술대회 논문집, pp. 498~501, 2002.
- [5] 박석하, "스위칭주파수 변조방식을 이용한 PWM 컨버터의 EMI 저감", 충남대학교 박사학위논문, 1999.
- [6] Wu Win, M.H. Pong, Z.Y. Lu, Z.M. Qian, "Novel Boost PFC with Low Common Mode EMI: Modeling and Design", APEC '2000, pp. 178-181, 2000.
- [7] M. Shoyamam, T. Okunae, G. Li, and T. Ninomiya, "Balanced Switching Converter to reduce Common -Mode Conducted Noise", IEEE PESC'2001 Record, pp. 451-456, June 2001.